



ΠΑΡΑΔΟΤΕΟ: Π.3.3

«ΑΝΑΠΤΥΞΗ ΜΗ ΕΙΔΙΚΩΝ ΑΝΟΣΙΑΚΩΝ ΑΠΟΚΡΙΣΕΩΝ ΤΟΥ ΕΠΙΘΗΛΙΟΥ (ΑΝΑΦΟΡΑ)»

ΓΙΑ ΤΟ ΥΠΟΕΡΓΟ 1 ΤΗΣ ΠΡΑΞΗΣ:

«ΘΑΛΗΣ- Ίδρυμα Ιατροβιολογικών Ερευνών Ακαδημίας Αθηνών- Ωρίμανση της μη ειδικής ανοσίας: επιρροή των λοιμώξεων και ρόλος τους στην ανάπτυξη ατοπίας και άσθματος» (MIS 377047)

μμ « »

μ 1:

μ : 1

ΕΠΙΧΕΙΡΗΣΙΑΚΟ ΠΡΟΓΡΑΜΜΑ
ΕΚΠΑΙΔΕΥΣΗ ΚΑΙ ΔΙΑ ΒΙΟΥ ΜΑΘΗΣΗ
επένδυση στην κοινωνία της γνώσης

ΥΠΟΥΡΓΕΙΟ ΠΑΙΔΕΙΑΣ ΚΑΙ ΘΡΗΣΚΕΥΜΑΤΩΝ
ΕΙΔΙΚΗ ΥΠΗΡΕΣΙΑ ΔΙΑΧΕΙΡΙΣΗΣ

ΕΣΠΑ
2007-2013
ΕΡΧΡΑΜΑΤΟΔΟΤΗΣΗ

Ευρωπαϊκή Ένωση
Ευρωπαϊκό Κοινωνικό Ταμείο

Με τη συγχρηματοδότηση της Ελλάδας και της Ευρωπαϊκής Ένωσης

3: μ μ

3.3 μ

μ μ μ (3.2),
 (p=3) μ (23%)
 μ
 μ μ μ 45.
 77%.

(p=3) « μ » μ
 (HRVA1B) μ μ (HRVA16).
 (RNA, DNA,),
 0, 6, 8, 24, 48 72 μ μ
 -80 C.

1. μ μ
 μ Least Squares Fitting—Exponential (Weisstein, Eric W. "LeastSquaresFitting--Exponential." <http://mathworld.wolfram.com/LeastSquaresFittingExponential.html>).
2. HRVA16 μ crystalviolet 24, 48 HRVA1B 72 μ
3. μ μ μ μ 8, 24, 48 72
4. 25 μ μ μ HRVA1B.
 μ μ μ HRVA1B 1, 3 24
5. μ μ μ μ μ ELISA
 LUMINEX μ 48 μ μ
 HRVA1B HRVA16. μ μ
6. μ μ μ RNA μ μ
 μ μ Real-timePCR.

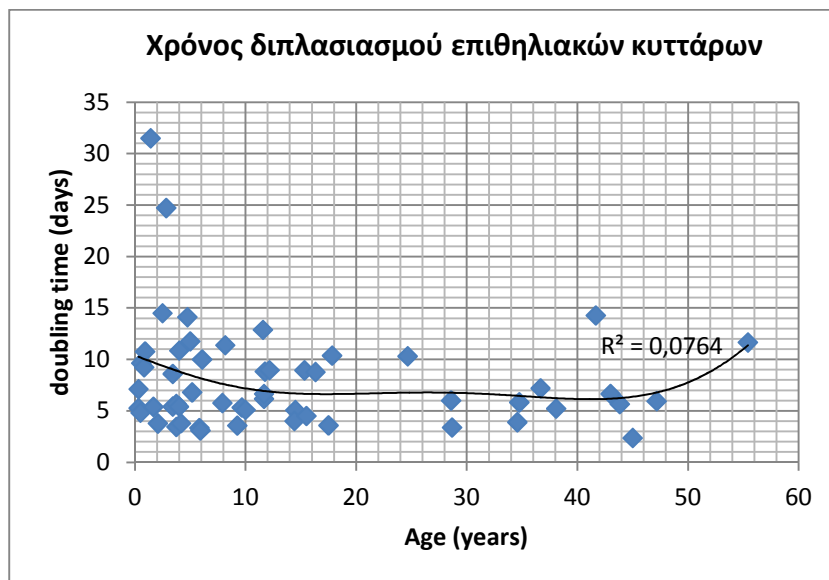
7. Linear regression analysis and ONEWAY – ANOVA με τη χρήση του προγράμματος IBMSPSSstatistics 20.

μ

μ

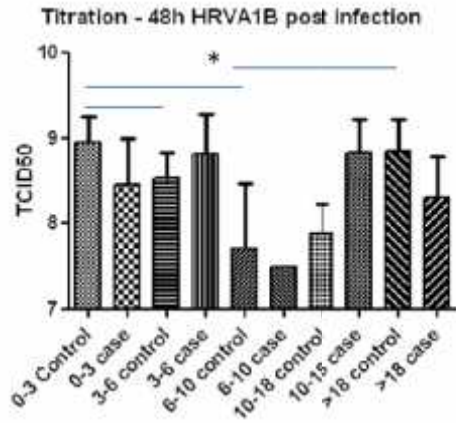
0 - 3	3	8	11
>3 - 6	4	8	12
>6 - 10	2	4	6
>10 - 18	7	5	12
>18	5	8	15
	22	32	54

1. μ μ μ μ μ μ μ μ μ μ



1. μ μ μ

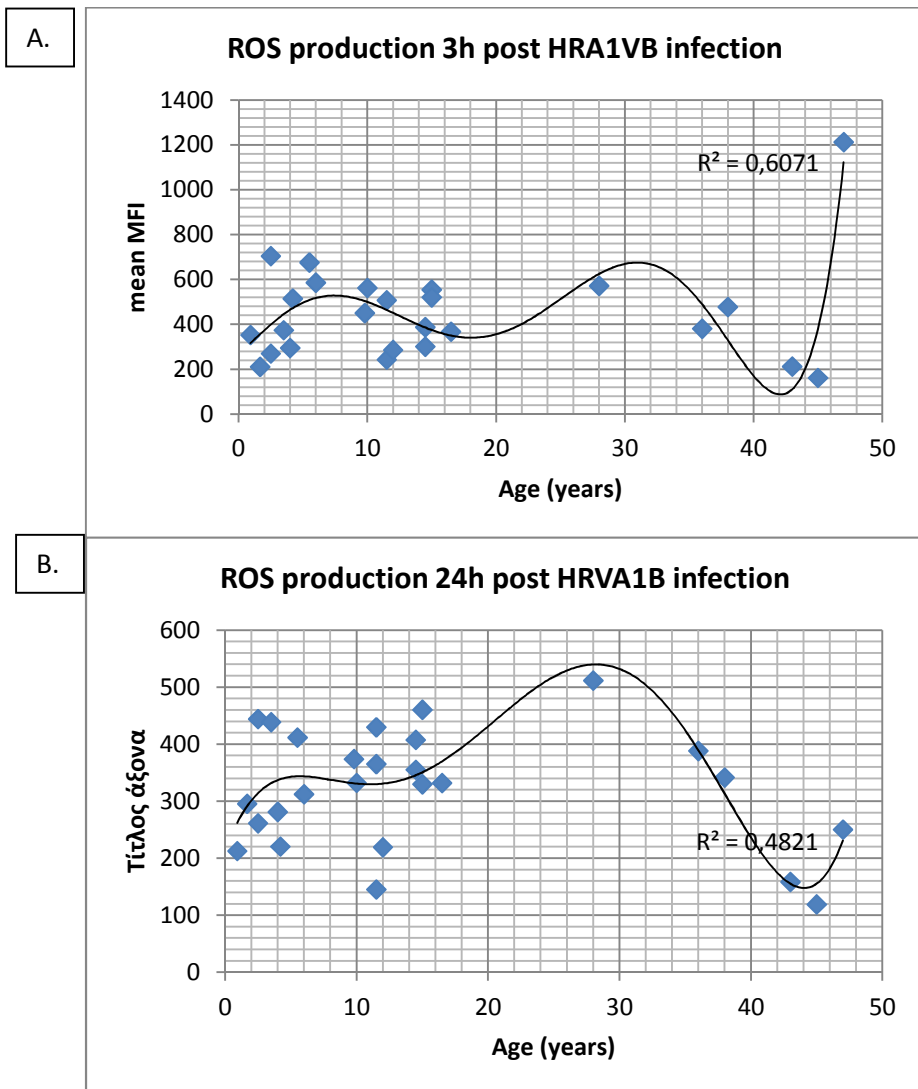
μ μ

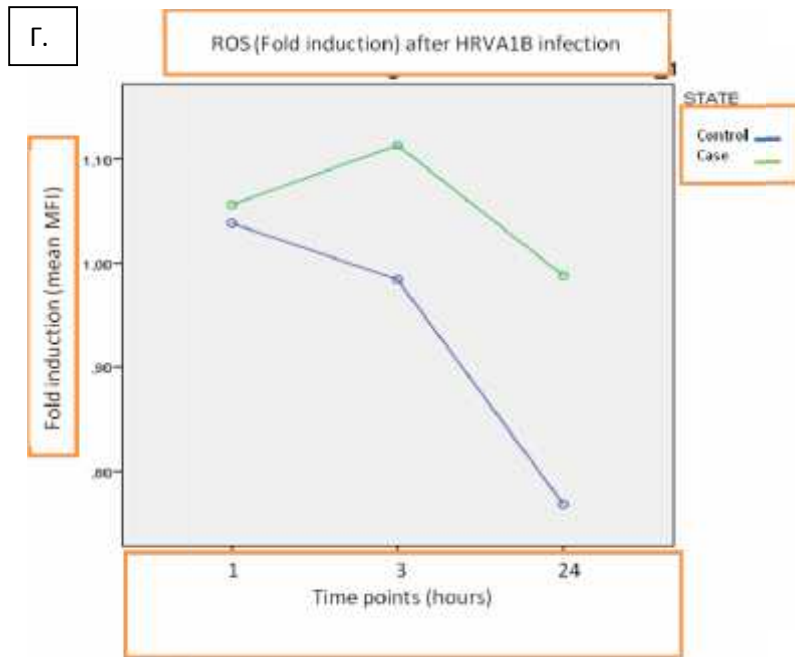


3. HRVA1B μ 48

μ 0-3 μ 3-6 μ 6-10 (p<0.05) μ >18

μ 6-10 μ (p<0.05).





4. & . μ (μ $\mu\mu$)
 3 () 24 () μ μ μ HRVA1B
 μ (p<0.05). Profile plot μ μ
 (mean MFI infected/uninfected) μ
 μ HRVA1B 1, 3 24 μ
 μ (p<0.05, Repeated measures).

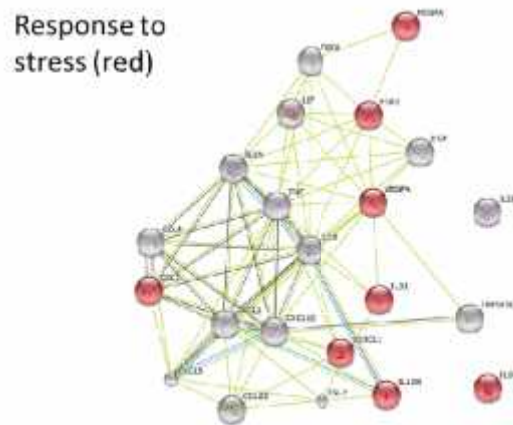
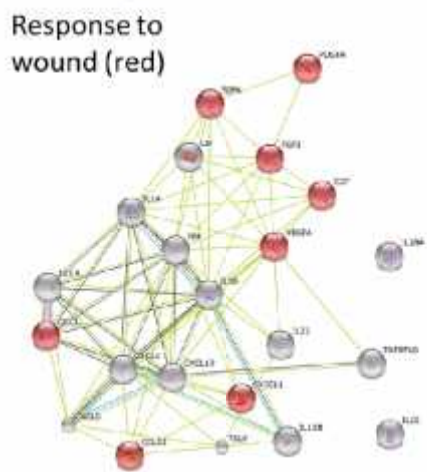
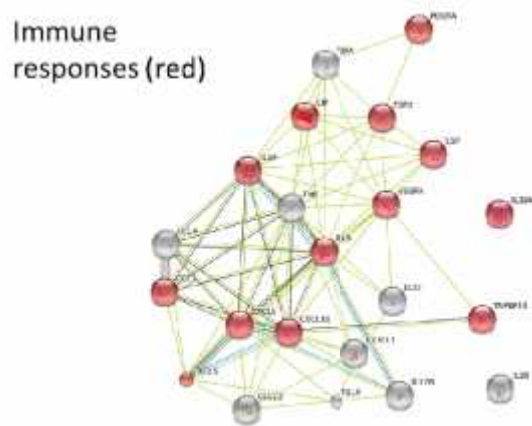
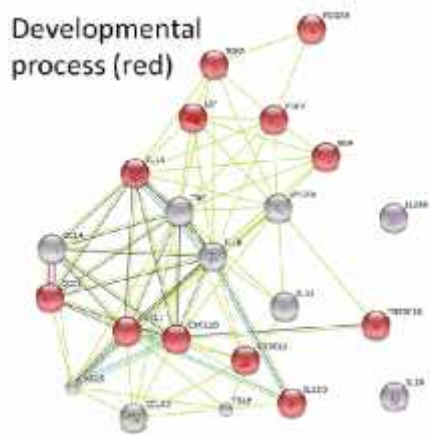
μ μ μ
 μ (p<0.05).

24 (EGF, FGF2, FRACTA LIN, G-CSF, GM-CSF, GRO, IL1A, IL1B, IP10, CCL22 (MDC), MIP1A, MIP1B, PDGFA, TGFA, TNF, VEGF, ENA-78/CXCL5, IL-20, IL-23, IL-28A, IL-33, TRAIL/TNFSF10, TSLP, LIF) μ

48 μ μ μ
 μ Luminex.

μ μ μ $\mu\mu$ String 10 (<http://string-db.org/>)
 μ μ μ μ μ

μ μ μ



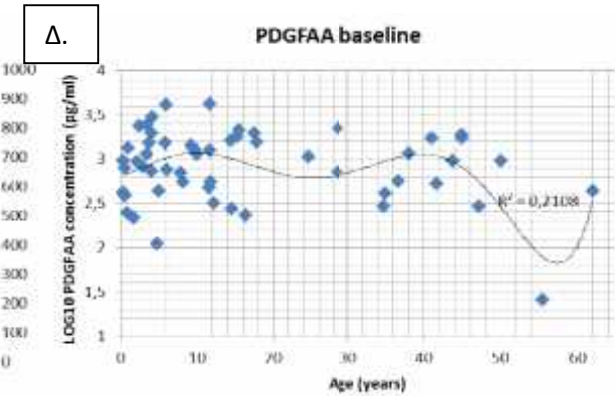
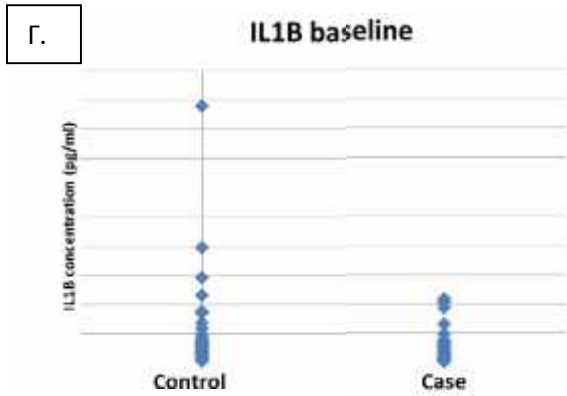
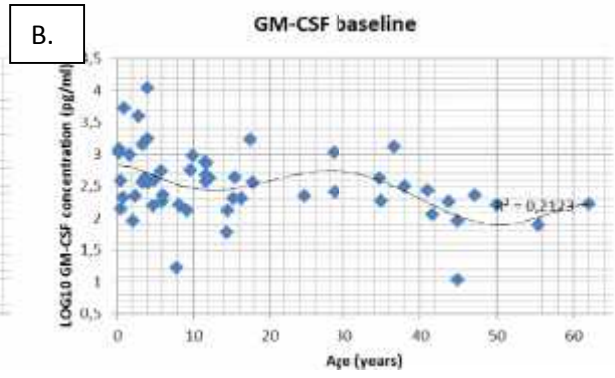
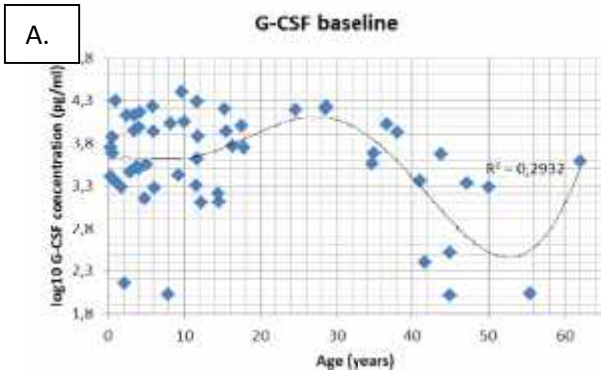
5.

μ

μ

μ

μ



6. μ (μ $\mu\mu$)
 G-CSF (A) GM-CSF (B) IL1B () PDGFAA ()
 ($p < 0.05$).

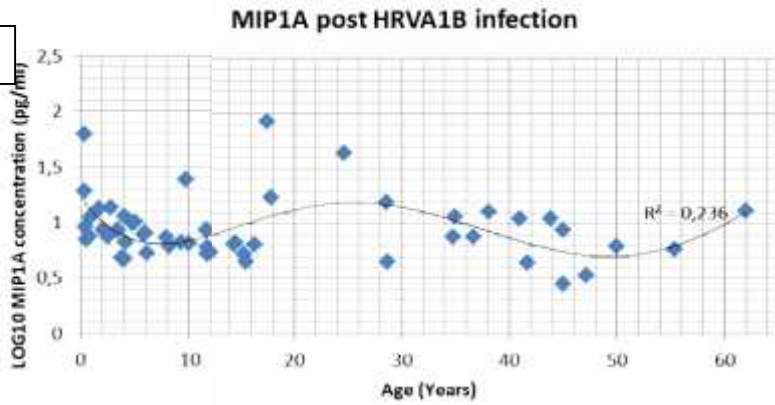
μ

μ

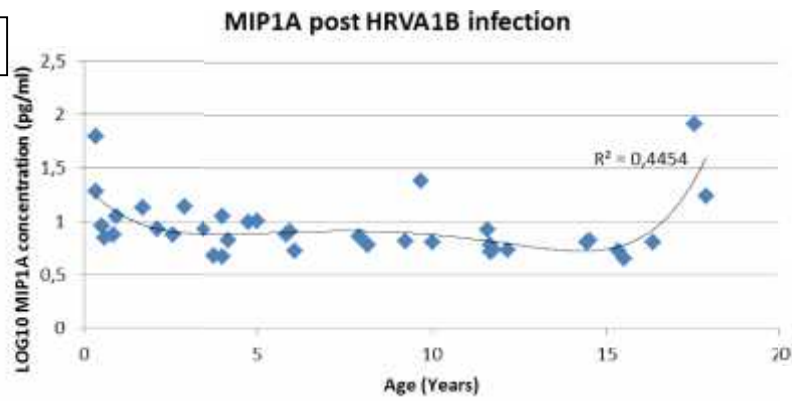
μ

μ

A.



B.

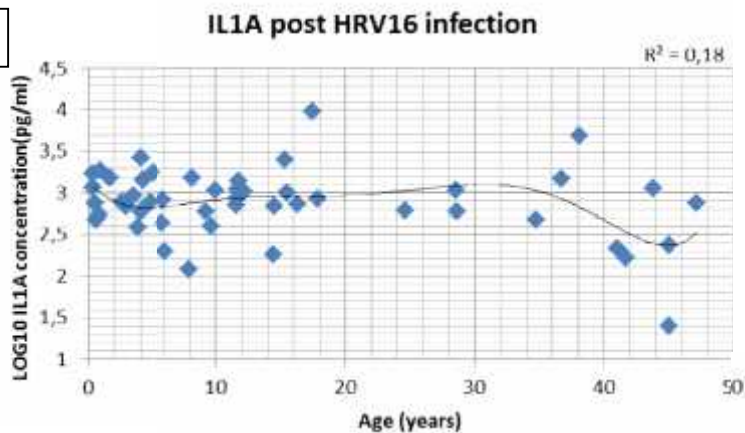


7. μ (μ $\mu\mu$)
MIP1A (A) MIP1A 0-18
(B) ($p < 0.05$) μ , 48
 μ HRVA1B.
HRVA1B
 μ
 μ μ μ
MIP1A μ 15
(7).
 μ μ $\mu\mu$
 μ μ
7. μ (μ $\mu\mu$)
MIP1A (A) MIP1A 0-18
(B) ($p < 0.05$) μ , 48
 μ HRVA1B.
HRVA1B
 μ
 μ μ μ
MIP1A μ 15

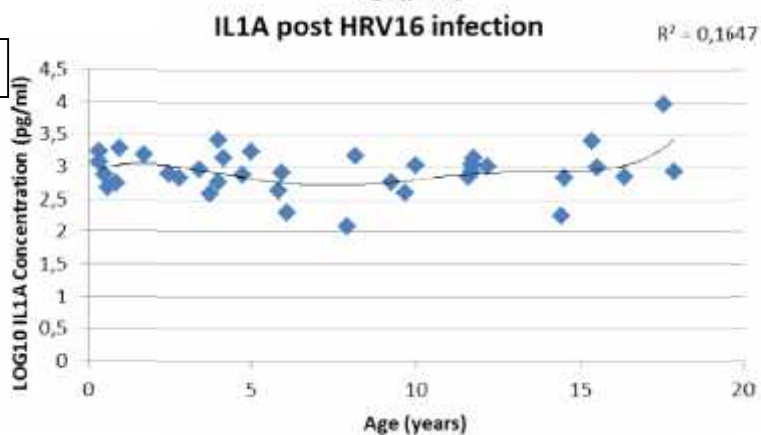
(7).

μ μ $\mu\mu$

A.



B.



8. μ (μ $\mu\mu$)

IL1A 50 (A) IL1A
0-18 (B) ($p < 0.05$) μ , 48
 μ HRVA16.

HRVA16

μ

L1A μ

15

(8).

μ

30

μ

μ

$\mu\mu$

μ

μ

μ

μ

μ

μ

μ

μ

μ

μ

μ

μ

μ

